Thesis

掲載論文は学位論文 (Thesis) であり原著論文ではない. 従って掲載論文を他論文で引用することを禁止する.

新規尿中マーカーによるループス腎炎の組織所見の予測

臨床医学研究系 内科学 リウマチ・膠原病内科学 井熊 大輔

【目的】ループス腎炎 (LN) は全身性エリテマトーデス (SLE) に合併する腎炎である。LNは組織型によって予後が異なるため、腎生検による組織診断と治療方針の決定が推奨されている。しかし、腎生検は侵襲的であり禁忌となる症例も少なくない。近年podocyte (Pod)、podocalyxin (PCX)、megalinが尿中で検出できるようになり、腎炎や腎症のマーカーとして注目されている。Podと PCX は糸球体細胞由来、megalinは尿細管細胞由来であり、これらのような部位特異性のある細胞と分子がある特定の組織学的病変を反映する非侵襲的なマーカーとなるのではないかという仮説を立てた。尿中Podマーカー [尿中Pod数/尿クレアチニン濃度比 (U-Pod/Cr) と尿中PCX 濃度/尿クレアチニン濃度比 (U-PCX/Cr)] と尿中megalinマーカー [尿中A-megalin濃度/尿クレアチニン濃度比 (A-meg/Cr) と尿中C-megalin濃度/尿クレアチニン濃度 水クレアチニン濃度 水クレアチニン濃度 水クレアチニン濃度 水クレアチニン濃度 水クレアチニン濃度 水クレアチェン濃度 水クレアチニン濃度 水クレアチェン濃度 水の組織所見が予測可能か 尿検体を用いて検討した

【方法】対象はSLE患者65名. 臨床的にLNと診断されない者または完全寛解状態のLN患者25名をLN (-) 群とし、臨床的に初発または再燃が疑われ腎生検によってLNと診断した 40名をLN (+)群とした. U-Pod/Crは間接蛍光 抗体法でPCX 陽性細胞をカウントし、U-PCX/Cr、A-meg/Cr、C-meg/Crはsandwich ELISA法にて測定した. 全ての検体は尿中クレアチニン濃度補正を行った. 腎組織評価は盲検的に行い、糸球体病変に関してInternational Society of Nephrology/Renal Pathology Society (ISN/RPS) 2003分類に従い分類し、活動性および慢性病変に関してはAustinらの報告に従い所見をスコア化した.

【結果】U-Pod/Cr、U-PCX/Cr、C-meg/CrはLN (+) 群で有意に高値であった (P<0.0001, P<0.0001, P=0.0003). Class IVのU-Pod/Crはclass Vと比較して有意に高値であり (P<0.05), class VのU-PCX/Crはclass IIIと比較して有意に高値であった (P<0.05). U-Pod/Crは組織学的なactivity indexと中等度の相関があった (P=0.4704, P=0.0029). U-Pod/Crと関連がある組織学的病変はcellular crescents (CC) であった (P<0.0001). U-PCX/Cr、A-meg/Cr、C-meg/Crと関連のある組織学的病変はなかった. U-Pod/CrでCCの存在を予測する場合のreceiver operating characteristic (ROC) analysisでのarea under the curve (AUC) は 0.72270 であった (P=0.01964). カットオフ値を 2.785cells/mgCrより大とした時の感度は 47.06%,特異度は 85.71%であった. 血清クレアチニン値,推定糸球体濾過量 (eGFR),尿中蛋白/尿クレアチニン濃度比 (uPCR) ではCCの存在を予測できなかった.

【結論】U-Pod/Cr, U-PCX/Cr, C-meg/CrはLN (+) 群で有意に高値を示した. U-Pod/Crは組織学的activity index と相関し、CCの存在予測に有用であった.

緒言

ループス腎炎 (LN) は全身性エリテマトーデス (SLE) の 30-50%に合併する腎炎であり 1), 本邦では毎年 250-300 名 のLN患者が透析導入に至っていることから SLE患者に とって現在も深刻な合併症である 2). LNでは腎に沈着した

医学博士 甲第 1279 号 平成 27 年 3 月 27 日 (埼玉医科大学) 〇著者は本学論文の研究内容について他者との利害関係を有しません. 免疫複合体が炎症を惹起し^{1,3)}, 沈着物はメサンギウム, 上皮下, 内皮下, 尿細管間質などに認められる. しかし その分布は症例により大きく異なり, LNは多種多様な 組織像が観察される事で知られる. 今日ではInternational Society of Nephrology/Renal Pathology Society (ISN/RPS) 2003 分類によりLNはclass Iからclass VIに分類され⁴⁾, class間で腎予後が異なるために⁵⁻⁷⁾国際的なガイドライン ではclassに応じた治療法が推奨されている⁸⁻¹⁰⁾. 以下に

ISN/RPS 2003 分類と国際ガイドラインで推奨されてい る治療を述べる(治療の中には本邦では保険適用になっ ていないものもあり留意が必要である). 光学顕微鏡では 異常を認めないがメサンギウムへの沈着が間接蛍光抗体 法で認められる場合は微小メサンギウム性ループス腎炎 としてclass I, 沈着物がメサンギウムのみにありメサンギ ウム細胞や基質の増加を呈した場合はメサンギウム増殖 性ループス腎炎としてclass IIに分類し、いずれも高度の 蛋白尿が出ていない限りはLNに対してのステロイド薬や 免疫抑制療薬の使用は不要である. 沈着が上皮下に存在し てスパイク病変や篆刻像を呈した場合は膜性ループス腎 炎としてclass Vに分類する. Class Vはネフローゼ症候群 を起こす場合が多く、その場合の長期腎予後は良好で ない事から、中等量ステロイド薬とmycophenolate mofetil (MMF) をはじめとした免疫抑制薬の併用が推奨されてい る. 沈着が内皮下に存在してワイヤーループ病変、ヒア リン血栓, 白血球浸潤, 管内増殖病変, 核破壊像, 管外増 殖病変などを呈した場合は増殖性ループス腎炎として病変 のある糸球体が全糸球体の 50%未満ならば class III, 50% 以上ならばclass IVに分類する. Class IIIとclass IVは腎 機能が悪化する患者も多く腎予後も不良であるため、中等 量~大量ステロイド薬とMMFもしくはcyclophosphamide の併用を行い, 重症例にはステロイドパルス療法を追加 するなどより強力な治療が推奨されている. LNにより 9割以上の糸球体が全節性硬化に陥っている場合は硬化 性ループス腎炎としてclass VIに分類し、ステロイド薬や 免疫抑制薬による回復は見込みにくいため、慢性腎不全と して加療を行う.

更に、このISN/RPS 2003 分類のみで腎予後や治療法が画一的に決まる訳ではない。LNではinterstitial fibrosis (IF) 11), interstitial inflammation (II) 12), cellular crescent (CC) 13)の程度が強いと腎生存率が悪いと報告されている。また、AustinらはLNで出現する複数の急性組織所見をスコア化し合計したactivity indexが高い程腎生存率が低下し、同様に慢性組織所見をスコア化し合計した chronicity indexも高値であると腎生存率が低下すると報告している 14). 従って、ISN/RPS 2003 分類のみならずこれらの詳細な組織病変の存在を知ることは、LNの腎予後の推定や治療法の決定に重要な意味を持つと考えられる

このように、LNの治療戦略を立てる上では可能な限り 腎生検による組織診断を行う事が望ましい。しかし、腎生 検は侵襲的な手技であり、禁忌となる症例も少なくない。

Podocyte (Pod) は高度に分化した糸球体上皮細胞であり¹⁵⁾、糸球体内皮細胞や糸球体基底膜 (GBM) とともに主に尿中への蛋白喪失を防ぐための糸球体障壁を形成している^{15,16)}.他にもGBM成分の生成や高い還流圧がかかる糸球体係蹄の形態維持といった役割を持っている¹⁷⁾.Podは傷害を受けると足突起の消失 (癒合) や細胞体の萎縮などの形態変化を起こし、傷害が継続するとやがて糸球体

係蹄から剥離してしまう. 高度に分化した細胞であるPod は自己増殖能に乏しいため、Podが剥離した糸球体係蹄は露出したままとなり露出部位からボーマン嚢への癒着が起こりやがて糸球体硬化に至ると考えられている ^{15, 18-20}.

HaraらはPod傷害が生じればその結果として尿中にPod が排泄されると考え. 間接蛍光抗体法を用いて尿沈渣中の Podを検出する事に成功した^{21,22)}. そして非侵襲的な糸球 体疾患のマーカーとして尿中Podが注目され、IgA腎症と 紫斑病性腎炎 23),糖尿病性腎症 24),巢状分節性糸球体硬化 症 (FSGS) ²⁵⁾などで活動性の腎症があると尿中Pod数が 増加することが報告されている. LNに対してはNakamura らが蛋白尿や血尿、腎機能悪化で定義された活動性LNで は尿中Podの脱落があったが、非活動性LNでは尿中への 脱落がなかったと報告している²⁶⁾. また, Vogelmannらは 小児のLNとFSGSについて検討し、いずれも腎症の活動性 がある時に尿中Pod数/尿クレアチニン濃度比(U-Pod/Cr) が高く、また活動性FSGSよりも活動性LNの方において U-Pod/Crが有意に高値であったと報告している²⁷⁾. しかし LNにおいて尿中Podと組織学的病変についての詳細な検 討の報告はまだない.

Podocalyxin (PCX) はPod,造血前駆細胞,血管内皮細胞などに発現している1回膜貫通分子である²⁸⁾. Podにおいてはapical cell membraneに局在し、Na+/H+ exchanger regulatory factor 1 (NHERF1) やezrinを介してactin線維と結合して足突起の形態維持と形成に関わっている^{28,29)}. Hara らはPodが傷害されるとPod表面のmicrovilliの形成が亢進し、PCXを含んだvesicleがmicrovilliの先端から尿細管腔に放出される事を報告し^{30,31)},さらに様々な腎症 (IgA腎症、微小変化型ネフローゼ症候群、LN、膜性腎症)で正常コントロールと比較して尿中PCX濃度/尿クレアチニン濃度比 (U-PCX/Cr) が上昇する事を報告した³²⁾. しかしLNの詳細な組織学的病変との関連はまだ検討されていない.

Megalinは分子量約 600 kDaの 1 回膜貫通分子で,近位 尿細管, 副甲状腺, 甲状腺などに発現している 33). 近位 尿細管細胞においては、糸球体から濾過された様々な 分子 (albuminやvitamin B12 など) を細胞内に取り込む endocytosisの機能を担っている³⁴⁾. Ogasawara らは細胞外 領域の結合活性化領域に対する抗体によって認識される amino [A]-megalin, 細胞内領域に対する抗体によって認識 されるCOOH [C]-megalin,両者の抗体で認識されるfull [F]-megalinについて検討し、正常コントロールの尿からは A-megalinのみが検出されるが 2 型糖尿病患者の尿からは A-megalinのみならず C-megalin と F-megalin も検出される 事を報告した 35). そして 2 型糖尿病患者において尿中アル ブミン/尿クレアチニン濃度比が高いほど尿中C-megalin 濃度/尿クレアチニン濃度比(C-meg/Cr)が高く、さらに 推定糸球体濾過量 (eGFR) 60 mL/min/1.72m² 未満の患者 でC-meg/Crが高いことも報告した³⁵⁾. SekiらはIgA腎症 の検討においてC-meg/Crがメサンギウム増殖病変およ

び慢性管外増殖病変と相関し、組織学的重症度と臨床的重症度によって導かれる透析導入リスクが高い患者ほど C-meg/Crが高く、また膜性腎症において正常コントロールより C-meg/Crが高かった事を報告した ³⁶. しかしLNの 尿中megalinに対する報告は皆無である.

尿中Podと尿中PCXは糸球体細胞由来,尿中megalinは近位尿細管細胞由来である。本研究では,特定の組織学的所見がこれらの細胞の傷害を惹起して,その結果これらの新規尿中マーカーを上昇させるのではないか,またこれらの新規尿中マーカーにより特定の組織病変を予測できるのではないかという仮説を立て,LN症例の臨床検体を用いて検討を行った。

材料と方法

この臨床評価に関する研究は埼玉医科大学病院アイアールビーの承認 (申請番号 09-016) を受けており、この研究に参加した全ての患者はヘルシンキ宣言に基づくインフォームドコンセントを受けている.

1. 患者

対象患者は本研究の同意を得られた 65 名のSLE患者 (埼玉医科大学病院リウマチ膠原病科 33 名, 群馬大学 大学院生体制御内科学教室 32 名) とした. 臨床的にLN の初発または再燃を疑い、そして腎生検にて確定診断 した症例をLN(+)群とし、臨床的にLNを疑いにくいSLE 患者または完全寛解状態のLN患者をLN(-)群とした. 臨床的にLNを疑う所見は 2012 年のAmerican College of Rheumatology (ACR) のガイドライン 8) に従い、0.5 g/day 以上の蛋白尿もしくは試験紙法による尿蛋白+3以上の 持続、または赤血球円柱、ヘモグロビン円柱、顆粒円柱、 尿細管円柱、あるいはその混合を含む細胞性円柱の存在と した. 臨床的にLNの再燃を疑う所見は 2012 年のKidney Disease: Improving Global Outcomes (KDIGO) のガイドラ イン 10)の中等度再燃以上とし、血清クレアチニン値の上 昇(ベースラインの血清クレアチニン値が 2.0 mg/dL未満 の時は 0.2 mg/dL以上の増加、2.0 mg/dL以上の時は 0.4 mg/dL以上の増加) あるいは蛋白尿の増加 [ベースライン の尿中蛋白/尿クレアチニン濃度比 (uPCR) が 500 mg/gCr 未満の時は 1000 mg/g以上への増加、500-1000 mg/gCrの 時は 2000 mg/gCr以上へ増加、1000 mg/gCrの時は 2 倍以 上への増加があるか 5000 mg/gCr以上の増加] とした. LN の完全寛解の定義も 2012 年のKDIGOのガイドライン ¹⁰⁾ に従い、血清クレアチニン値のベースラインへの回復およ びuPCRの 500 mg/gCr未満への低下とした.

患者背景および検査データは診療録より取得し、eGFR は松尾らの報告³⁷に従い算出した.

2. 組織学的評価

腎生検標本の評価はHematoxylin Eosin (HE) 染色, Periodic Acid-Shiff (PAS) 染色, Periodic Acid Silver-Methenamine (PAM) 染色, Masson's Trichrome (MT) 染色, 蛍光抗体染色を用い, 2名の熟練した検者によっ

て盲検的に行った. ISN/RPS 2003 分類 ⁴⁾に従って分類 した. Class Vはclass IIIやclass IVと合併する事がある. その場合はmixedに分類し、このような合併例はclass III、 class IV, class Vに含まれないようにした. また, LNは 組織学的な急性病変や慢性病変の重症度が腎予後に相関 するため、activity index と chronicity index を用いたスコ アリングを行った ¹⁴⁾. Activity index と chronicity index の 算出に用いた組織学的病変とスコアの定義は下記の通り である. Endocapillary hypercellularity (EH): この病変は 糸球体係蹄の循環量の低下を引き起こす係蹄内の細胞増 殖(メサンギウム細胞、内皮細胞、浸潤した単球)と定義 した. スコアは病変のある糸球体が全糸球体の 25%未満 (+1), 25-50% (+2), 50%以上 (+3) とした. Leukocyte infiltration (LI): 糸球体 1 個あたり 2 つ以上の多核白血球 の浸潤を異常とした. スコアは mild (+1), moderate (+2), extensive (+3) とした. Fibrinoid necrosis/ karyorrhexis (FN): Karyorrhexis は 濃 縮 し 断 片 化 し た 核 と し て, fibrinoid necrosisは糸球体の凝固した分節の中の強い好酸性成分の 存在と定義した. スコアはkaryorrhexisのみかkaryorrhexis と fibrinoid necrosis が全糸球体の 25%未満 (+1), fibrinoid necrosisが全糸球体の 25-50% (+2), 50%以上 (+3) とした. この病変は重症度に大きく貢献するためにスコアを 2 倍に カウントした. CC: ボーマン嚢の 1/4 以上を占める細胞性 の管外増殖病変をCCと定義した. CCかfibrous crescents (FC) かの決定にはMT染色を用いた. スコアは病変のある 糸球体が全糸球体の 25%未満 (+1), 25-50% (+2), 50% 以上(+3)とした.この病変は重症度に大きく貢献するた めにスコアを 2 倍にカウントした. Subendothelial hyaline deposits (SH): 糸球体毛細血管の管腔表面に沿って存在 する均質な好酸性物質と定義した. スコアは病変のある 糸球体が全糸球体の 25%未満 (+1), 25-50% (+2), 50% 以上(+3)とした. II: 単核球(リンパ球, 形質細胞, マク ロファージ) の間質への浸潤と定義した. スコアはmild (+1), moderate (+2), extensive (+3) とした. Glomerular sclerosis (GS):メサンギウム基質とそれに引き続く硬化を 伴う糸球体管腔の虚脱が分節性か全節性に見られる病変と 定義した. スコアは分節性硬化のみか分節性硬化と全節性 硬化が全糸球体の 25%未満 (+1), 全節性硬化が 25-50% (+2), 50%以上(+3)とした. FC: 線維化組織が優位な crescent をFCと定義した. スコアは病変のある糸球体が 全糸球体の 25%未満 (+1), 25-50% (+2), 50%以上 (+3) とした. Tubular atrophy (TA): 萎縮性変化は尿細管基底 膜の肥厚と定義した. スコアは mild (+1), moderate (+2), extensive (+3) とした. IF: 糸球体や尿細管周囲の線維の 沈着をMT染色で評価した. スコアはmild (+1), moderate (+2), extensive (+3) とした. Activity index はEH, LI, FN, CC, SH, IIのスコアを合計して算出し, chronicity index はGS, FC, TA, IFのスコアを合計して算出した. また、multiple liner regression analysisにおいて class Vで 見られる膜性病変について評価するために上皮下沈着物、

スパイク病変, 篆刻像が分節性/全節性にあるかも評価し, spike/bubbly appearance (SB) とした.

3. 新規尿中マーカーの測定

入院患者は早朝新鮮尿、外来患者は随時新鮮尿を用いた. U-Pod/CrはLSIメディエンスに、U-PCX/Cr、尿中A-megalin濃度/尿クレアチニン濃度比 (A-meg/Cr)、C-meg/Crはデンカ生研株式会社試薬研究開発部に測定を依頼した. 測定の方法は下記の通りである.

U-Pod/CrはHaraらの報告に従い間接蛍光抗体法で カウントした²¹⁾. 33 mLの新鮮尿を 700 gで 5 分間遠心し, 上澄を吸引して尿沈渣を得た. 尿沈渣は 0.01 M phosphatebuffered saline (PBS, pH 7.2) で洗浄し、10 mLのPBSで 再懸濁し、Autosmear (Sakura、Japan) を用いてポリ-L-リジンでコーティングしたスライドにサイトスピンした. スライドは 30 分空気乾燥させ、4℃のacetoneで 5 分間固 定した. サイトスピンした領域をPAP-pen (Deko, Japan) で 6 区画 (1.0×1.0 cm²/区画) に区切った. PBS で洗浄後, 1:200 に希釈した 20 μLのマウス抗ヒトPCX抗体 PHM5 (Australian Monoclonal Development, Australia) に 30 分間 反応させた. PBSで洗浄後、1:50 に希釈したフルオレセ インイソチオシアネート (FITC) 標識抗マウスイムノグロ ブリン抗体 (Cappel, USA) に 30 分間反応させた. その後 PBSで洗浄し、buffered glycerolで包埋した. 作製した標 本は蛍光顕微鏡で評価し、陽性細胞をPodとしてカウント し、尿中クレアチニン濃度を用いて補正を行いU-Pod/Cr とした.

U-PCX/CrはAsaoらの報告に従いsandwich ELISA法 にて測定した³⁸⁾. 抗ヒトPCX細胞内領域モノクローナ ル抗体として#147 抗体と#5 抗体を用いた³²⁾. 150 μLの 新鮮尿と等量の処理液 (400mM N-[tris (hydroxymethyl) metyl]-2-aminoethanesulfonic acid sodium-NaOH, 40mM ethylenediaminetetraacetic acid (EDTA), 0.4% [volume for volume] Triton X-100, pH 7.0) を混合して得られた尿試料 溶液 100 μLを, #147 抗体を固相化したELISAプレート 上に添加し、37℃で1時間反応させた。ウェルから尿試 料溶液を除去し、3回洗浄を行った. その後、horseradish peroxidaseで標識した#5 抗体を 100 µL添加し, 37℃で 1時間反応させた.ウェルから標識化抗体を除去し.3回 洗浄を行った. その後, 3,3',5,5'-テトラメチルベン ジジン (TMB) を 100 µLを添加して, 遮光下にて 25℃ で30分間反応させた. 反応を停止させた後, マイクロ プレートリーダーにて吸光度を測定し、標準物質から作成 した検量線により検体中のPCX濃度を導き出し、尿中ク レアチニン濃度を用いて補正を行U-PCX/Crとした.

A-meg/CrとC-meg/CrはOgasawaraらの報告に従いsandwich ELISA法にて測定した³⁵⁾. A-meg/Cr測定系には抗ヒトmegalin細胞外領域モノクローナル抗体としてA5抗体とA12 抗体を、C-meg/Cr測定系には抗ヒトmegalin細胞内領域モノクローナル抗体としてC25 抗体とC37 抗体を用いた³⁹⁾. 90 μLの新鮮尿と 10 μLの処理液 (2 mol/L Tris-

HCl, 0.2 mol/L EDTA, 10% [volume for volume] Triton X-100, pH 8.0) を混合し、A-meg/Cr測定用試料は 50℃で 3 時間, C-meg/Cr測定用試料は室温で 1 分間反応させた. A-meg/Cr測定系ではA12 抗体を固相化したELISAプレー ト上に添加し 37℃で 1 時間反応させ、C-meg/Cr測定系で はC25 抗体を固相化したELISAプレート上に添加し37℃ で1時間反応させた. ウェルから尿試料溶液を除去し, 3回洗浄を行った. その後, A-meg/Cr測定系ではA5 抗 体を, C-meg/Cr測定系でC37 抗体をalkaline phosphatase で標識し、これらの標識化抗体を添加し、37℃で1時 間反応させた. ウェルから標識化抗体を除去し, 4回洗 浄を行った. その後, Assay Buffer (Applied Biosystems, Carlsbad, CA) で2回洗浄を行った. 次に, CDP-Star substrate and Emerald-II enhancer (Applied Biosystems, Carlsbad, CA) を添加して、遮光下にて 37℃で 20 分反 応させた. その後, 直ちにマイクロプレートリーダーに て1秒間の積算発光強度を測定し、標準物質から作成した 検量線により検体中のA-megalin濃度とC-megalin濃度 を導き出し, 尿中クレアチニン濃度を用いて補正を行い A-meg/CrとC-meg/Crとした.

4. 統計学的検討

全ての値は注釈がなければ中央値 (四分位範囲) で表記した. 統計学的検討はGraph Pad PRISM software version 6.0 と SPSS software version 15.0 を用いてMann-Whitney U test, Chi square test, Dunn's multiple comparison test, Spearman's rank correlation r test, multiple liner regression analysis, receiver operating characteristic (ROC) analysis を行った. Multiple liner regression analysisについては,前述のactivity indexとchronicity indexで定義されるEH, LI, FN, CC, SH, GS, FCの病変をもつ糸球体の割合(%), SBの有無, mild (+1)以上のII, TA, IFの有無について単変量解析 (Spearman's rank correlation r test) を行い, P<0.20 となる項目を独立変数として選択し強制投入法で解析した.

結 果

25 名のLN (-) 群と 40 名のLN (+) 群の患者背景および検査データをTable 1 に示した. 両群間で年齢 (P=0.4000),性別 (P=0.7864),糖尿病有病率 (P=0.4256) で有意差がなかった. 1 時間赤沈値 (P=0.3605) と抗二本鎖DNA抗体 (P=0.2139) は両群間で有意差がなかった.補体50%溶血単位 (CH50, P=0.0026) とeGFR (P=0.0049) はLN (+) 群で有意に低値であり,血清クレアチニン値 (P=0.0007) とuPCR (P<0.0001) は有意にLN (+) 群で高値であった.尿細管傷害マーカーである尿中N-acetyl-beta-D-glucosaminidase濃度/尿クレアチニン濃度比 (NAG/Cr, P=0.0001) と尿中 α 1 ミクログロブリン濃度/尿クレアチニン濃度比 (α 1MG/Cr, P=0.0107) はLN (+) 群で有意に高値であったが,尿中 β 2 ミクログロブリン濃度/尿クレアチニン濃度比 (β 2MG/Cr, P=0.2852) では有意差はな

かった.

LN (-) 群とLN (+) 群のU-Pod/Cr, U-PCX/Cr, A-meg/Cr, C-meg/CrをFig. 1 に示した. LN (+) 群のU-Pod/Crは

1.31 (0.33-4.19) cells/mgCrであり、LN (-) 群より有意に高かった (*P*<0.0001). 加えて、40 名のLN (+) 群の内 7 名のU-Pod/Crが 10 cells/mgCr以上であった. LN (-) 群の

Table 1. 患者背景および検査データ. データは中央値 (四分位範囲) で表した. 両群間における値の比較にMann-Whitney *U* test を用いた. † 両群における割合の比較にはChi square test を用いた. LN: ループス腎炎, NA: not applicable, CH50: 補体 50%溶血単位, eGFR: 推定糸球体濾過量, uPCR: 尿中蛋白/尿クレアチニン濃度比, NAG/Cr: 尿中N-acetyl-beta-D-glucosaminidase 濃度/尿クレアチニン濃度比, α1MG/Cr: 尿中α1 ミクログロブリン濃度/尿クレアチニン濃度比, β2MG/Cr: 尿中β2 ミクログロブリン濃度/尿クレアチニン濃度比, ISN/RPS: International Society of Nephrology/Renal Pathology Society, Mixed: class III+V or class IV+V.

Characteristics	LN (-) group (n=25)	LN (+) group (n=40)	P value
Age (years)	36 (28-51)	36 (28-42.3)	0.4000
Sex (% female)	92.0	90.0	0.7864^{\dagger}
HbA1c>6.5% (%)	0.0	3.0	0.4256^{\dagger}
Erythrocyte sedimentation rate (mm/h)	48.5 (28.5-101)	66 (37-85)	0.3605
Anti-ds-DNA antibody (IU/mL)	26.5 (10-189)	118 (19.75-400)	0.2139
CH50 (U)	30.8 (20.7-36.5)	19.25 (10.98-26.85)	0.0026
Serum creatinine (mg/dL)	0.52 (0.45-0.57)	0.69 (0.545-0.965)	0.0007
eGFR (mL/min/1.73m²)	106.6 (83.1-132.4)	79.4 (54.5-99.6)	0.0049
uPCR (g/gCr)	0.10 (0.04-0.31)	2.43 (0.96-4.63)	<0.0001
NAG/Cr (IU/gCr)	5.33 (1.98-8.23)	11.23 (6.01-19.77)	0.0001
α 1MG/Cr (μ g/gCr)	7.18 (3.08-14.35)	17.59 (8.05-24.08)	0.0107
β 2MG/Cr (μ g/gCr)	183.37 (137.12-1364.68)	541.19 (186.57-3609.11)	0.2852
ISN/RPS 2003 classification (I/II/III/IV/V/mixed)	NA	0/0/6/15/7/12	NA
Histological activity index	NA	6 (3-11.25)	NA
Histological chronicity index	NA	2 (1.75-3)	NA

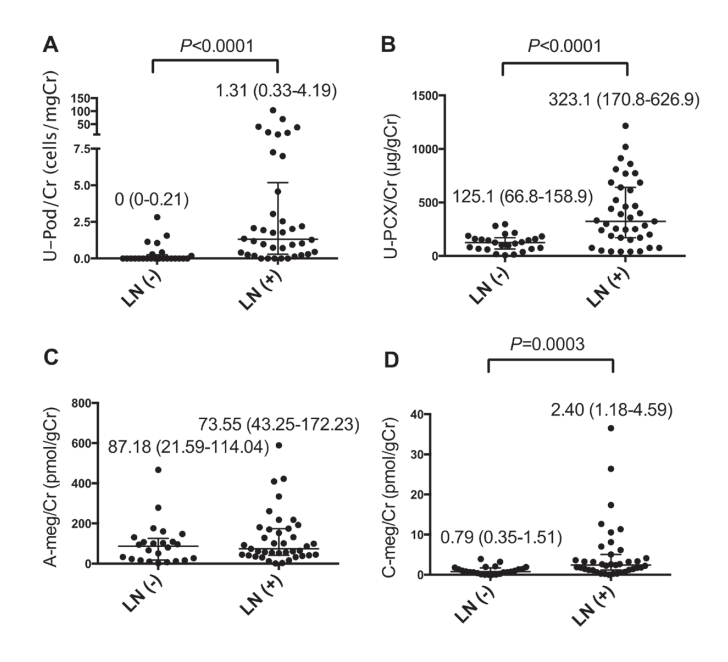


Fig. 1. LN (-) 群とLN (+) 群での新規尿中マーカーの比較. (A) U-Pod/Cr. (B) U-PCX/Cr. (C) A-meg/Cr. (D) C-meg/Cr. U-Pod/Cr. U-PCX/Cr. (C) 在-meg/Cr. (D) C-meg/Cr. U-Pod/Cr. U-PCX/Cr. (C) 本価値であった。 Mann-Whitney U test を用いた。 Error bar は中央値と四分位範囲を表し、値も中央値 (四分位範囲)を表す。 U-Pod/Cr: 尿中podocyte数/尿クレアチニン濃度比,U-PCX/Cr: 尿中podocalyxin濃度/尿クレアチニン濃度比,C-meg/Cr: 尿中C-megalin濃度/尿クレアチニン濃度比.

25 名中 7 名のU-Pod/Crは 0 cells/mgCrではなかった. LN (+) 群のU-PCX/Crは 323.1 (170.8-626.9) μg/gCrであり, LN (-) 群より有意に高かった (*P*<0.0001). LN (+) 群の C-meg/Crは 2.40 (1.18-4.59) pmol/gCrであり, LN (-) 群より有意に高かったが (*P*=0.0003), A-meg/CrはLN (+) 群とLN (-) 群で有意差はなかった.

LN (+) 群 で のU-Pod/Cr, U-PCX/Cr, A-meg/Cr, C-meg/Cr と既知の血清/尿中マーカーとの相関をTable 2 に示した. U-Pod/CrとU-PCX/CrはuPCRと弱い正の相関があった (相関係数r=0.3894, P<0.05 およびr=0.3300, P<0.05). C-meg/CrはuPCR (r=0.3703, P<0.05) と弱い正の相関があり、尿細管傷害マーカーである NAG/Cr

(r=0.3550, P<0.05) と α 1MG/Cr (r=0.3572, P<0.05) とも弱い正の相関があった.

U-Pod/Cr, U-PCX/Cr, A-meg/Cr, C-meg/CrをISN/RPS 2003 分類別に比較した (Fig. 2). U-Pod/Crは多重比較の結果, class IVのU-Pod/Crはclass Vと比較して有意に高値であった (P<0.05). そしてmixedにおいてU-Pod/Crが 5 cells/mgCr以上であった 2 名はいずれも class IV+Vであった. U-PCX/Crは多重比較の結果, class VのU-PCX/Crはclass IIIと比較して有意に高値であった (P<0.05). A-meg/CrとC-meg/Crは多重比較の結果, 各 class間で有意差はなかった.

LN (+) 群において組織学的なactivity index, chronicity

Table 2. LN (+) 群における既知の血清/尿中マーカーと新規尿中マーカーとの相関係数 r. U-Pod/CrとU-PCX/CrはuPCRと正の相関があった。 C-meg/CrはuPCR,NAG/Cr、 α 1MG/Crと正の相関があった。 Spearman's r correlation testを用いた。*: P<0.05, **: P<0.01, ***: P<0.001, ***: P<0.001.

	U-Pod/Cr	U-PCX/Cr	A-meg/Cr	C-meg/Cr	eGFR	uPCR	NAG/Cr	α1MG/Cr
U-Pod/Cr								
U-PCX/Cr	0.3601*							
A-meg/Cr	0.3330^{*}	0.5630***						
C-meg/Cr	0.5634****	0.4871**	0.5206***					
eGFR	-0.3005	0.2329	0.194	-0.1456				
uPCR	0.3894*	0.3300^*	0.1468	0.3703*	0.1113			
NAG/Cr	0.3710^*	0.3735^*	0.2482	0.3550^*	-0.09656	0.5107***		
lpha 1MG/Cr	0.2663	0.06155	0.06155	0.3572*	-0.3634^*	0.2849	0.4830**	
β 2MG/Cr	0.09541	-0.02824	-0.02824	0.2605	-0.3245*	-0.1948	0.0936	0.5915****

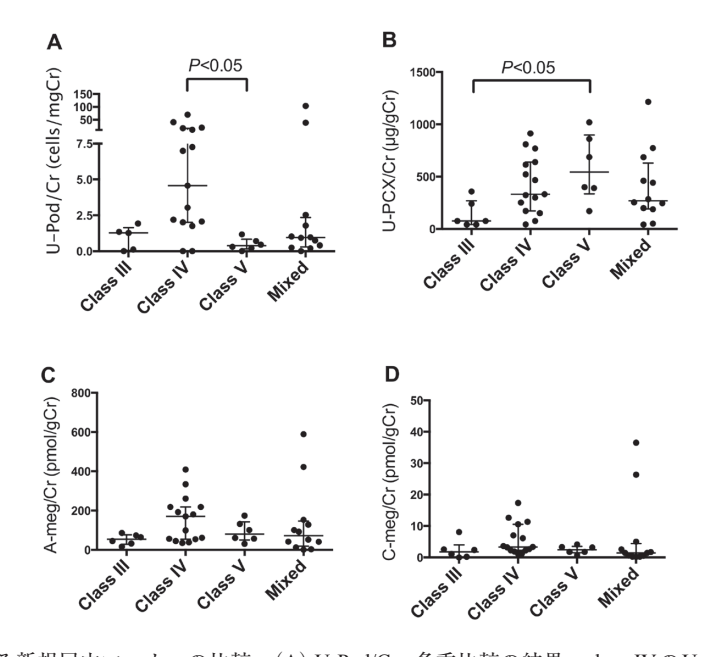


Fig. 2. ISN/RPS 2003 分類における新規尿中マーカーの比較. (A) U-Pod/Cr. 多重比較の結果, class IVのU-Pod/Cr はclass Vと比較して有意に高値であった (P<0.05). (B) U-PCX/Cr. 多重比較の結果, class VのU-PCX/Cr はclass IIIと比較して有意に高値であった (P<0.05). (C) A-meg/Cr. (D) C-meg/Cr. A-meg/CrとC-meg/Cr は多重比較の結果, 各 class間で有意差はなかった. 多重比較にはDunn's multiple comparison testを用いた. Error barは中央値と四分位範囲を表す.

index と U-Pod/Cr、U-PCX/Cr、A-meg/Cr、C-meg/Crとの相関を Fig. 3 に示した。Activity index と U-Pod/Cr に中等度の正の相関が見られたが (r=0.4704, P=0.0029),U-PCX/Cr、A-meg/Cr、C-meg/Crとの有意な相関はなかった。Chronicity index と有意な相関があった尿中マーカーはなかった。

LN (+) 群において、U-Pod/Cr、U-PCX/Cr、A-meg/Cr、C-meg/Crと関連のある組織病変検索のために単変量解析および多変量解析を行った (Table 3). U-Pod/Crを従属変数、Spearman's rank correlation r testにてP<0.20 であったEH、LI、CC、FCを持つ糸球体の割合とSBの有無を独

立変数とした multiple liner regression analysis によると、U-Pod/CrとCCを持つ糸球体の割合に有意な正の相関があった (標準化係数 β =0.809, P<0.0001). 多変量解析においてU-PCX/Cr, A-meg/Cr, C-meg/Crと関連のある組織学的病変はなかった.

U-Pod/CrがCCと正の相関があったことから、LNにおいてU-Pod/CrからCCの存在を予測できるのではと考えた。LN(+)群において、U-Pod/CrでCCの存在を予測する場合のROC analysisでのarea under the curve (AUC)は 0.72270 であった (P=0.01964, Fig. 4). カットオフ値を>2.785cells/mgCrとした時の感度は 47.06%, 特異度は

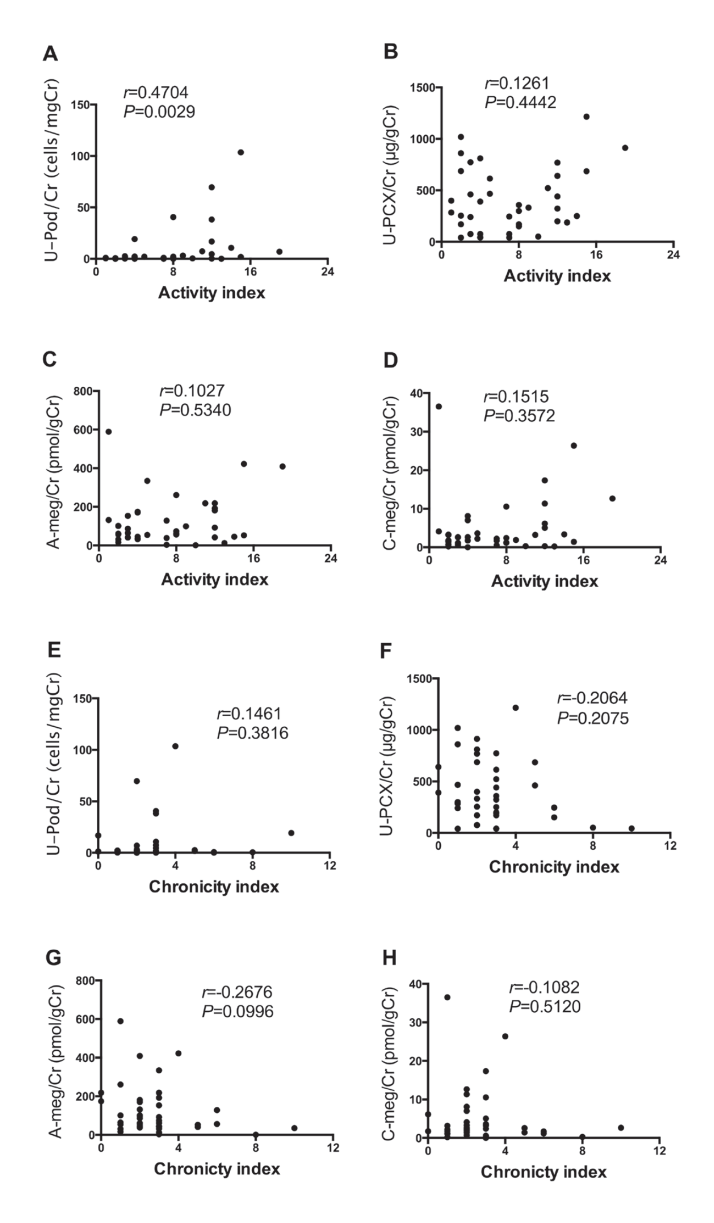


Fig. 3. 組織学的 activity index, chronicity index と新規尿中マーカーとの相関. (A) U-Pod/Crと組織学的 activity index との相関. (B) U-PCX/Crと組織学的 activity index との相関. (C) A-meg/Crと組織学的 activity index との相関. (D) C-meg/Crと組織学的 activity index との相関. (E) U-Pod/Crと組織学的 chronicity index との相関. (F) U-PCX/Crと組織学的 chronicity index との相関. (G) A-meg/Crと組織学的 chronicity index との相関. (H) C-meg/Crと組織学的 chronicity index との相関. U-Pod/Crと組織学的 activity index との間に正の相関があった (r=0.4704, P=0.0029). Spearman's r correlation test を用いた.

T40 井熊 大輔

Table 3. 新規尿中マーカーと各々の組織学的病変との相関. (A) U-Pod/Cr. 多変量解析によるとU-Pod/CrとCCを持つ糸球体の割合は正の 相関があった. (B) U-PCX/Cr. (C) A-meg/Cr. (D) C-meg/Cr. U-PCX/Cr, A-meg/Cr, C-meg/Cr は多変量解析によると特定の組織 学的病変との有意な相関はなかった. 単変量解析にはSpearman's r correlation test を, 多変量解析にはmultiple liner regression analysis を用いた。EH: endocapillary hypercellularity,LI: leukocyte infiltration,SH: subendothelial hyaline deposits,FN: fibrinoid necrosis/ karyorrhexis, CC: cellular crescents, II: interstitial inflammation, GS: glomerular sclerosis, FC: fibrous crescents, TA: tubular atrophy, IF: interstitial fibrosis, SB: spike/bubbly appearance.

Multivariate analysis

P value

Α	
U-Pod/Cr	

Variables	Univariate analysis r	Univariate analysis <i>P</i> value	Multivariate analysis β
EH	0.4307	0.0070	-0.162
LI	0.2966	0.0766	-0.138
SH	0.1213	0.4683	NA
FN	0.1338	0.4231	NΔ

EH	0.4307	0.0070	-0.162	0.858
LI	0.2966	0.0766	-0.138	0.285
SH	0.1213	0.4683	NA	NA
FN	0.1338	0.4231	NA	NA
CC	0.4936	0.0016	0.809	<0.0001
II	0.05168	0.7580	NA	NA
GS	-0.01778	0.9156	NA	NA
FC	-0.2157	0.1934	0.089	0.441
TA	-0.01772	0.9159	NA	NA
IF	0.1409	0.3988	NA	NA
SB	-0.3163	0.0530	0.020	0.866

В

U-PCX/Cr

0 1 070 01				
Variables	Univariate analysis r	Univariate analysis <i>P</i> value	Multivariate analysis β	Multivariate analysis <i>P</i> value
EH	0.2418	0.1380	0.112	0.521
LI	0.3378	0.0355	0.319	0.059
SH	0,008855	0.9573	NA	NA
FN	-0.06305	0.7030	NA	NA
CC	0.1899	0.2469	NA	NA
II	-0.1353	0.4114	NA	NA
GS	-0.3827	0.0162	-0.145	0.507
FC	-0.3764	0.0182	-0.200	0.340
TA	-0.2209	0.1766	-0.198	0.199
IF	0.02253	0.8917	NA	NA
SB	0.1343	0.4149	NA	NA

С

A-meg/Cr

Variables	Univariate analysis r	Univariate analysis <i>P</i> value	Multivariate analysis β	Multivariate analysis <i>P</i> value
EH	0.07112	0.6670	NA	NA
LI	0.2061	0.2082	NA	NA
SH	0.1711	0.2975	NA	NA
FN	0.03433	0.8357	NA	NA
CC	0.04805	0.7715	NA	NA
II	-0.1208	0.4637	NA	NA
GS	-0.3644	0.0226	-0.196	0.372
FC	-0.3991	0.0119	-0.156	0.477
TA	-0.1425	0.3868	NA	NA
IF	-0.1389	0.3989	NA	NA
SB	-0.05791	0,7262	NA	NA

D

C-meg/Cr

Variables	Univariate analysis r	Univariate analysis <i>P</i> value	Multivariate analysis β	Multivariate analysis <i>P</i> value
EH	0.3364	0.0363	0.100	0.605
LI	0.3205	0.0467	0.199	0.281
SH	-0.09207	0.5772	NA	NA
FN	-0.07784	0.6376	NA	NA
CC	0.1694	0.3024	NA	NA
II	0,05558	0.7368	NA	NA
GS	-0.2914	0.0717	-0.300	0.214
FC	-0.2916	0.0717	0.001	0.997
TA	-0.1177	0.4753	NA	NA
IF	0.1277	0.4386	NA	NA
SB	-0.2965	0.0669	0.090	0.596

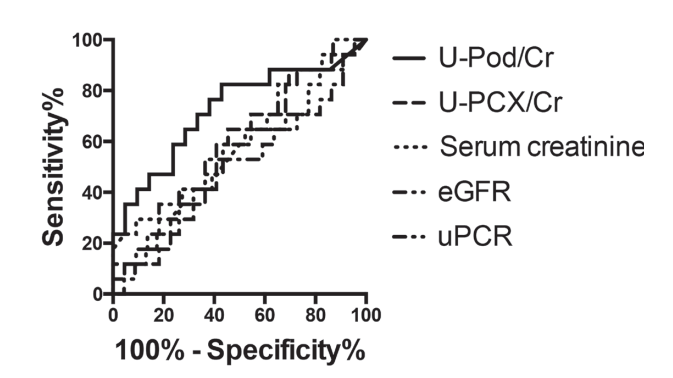


Fig. 4. CCの存在予測のためのROC解析. U-Pod/CrでCCの存在を予測する場合のreceiver operating characteristic (ROC) analysisでのarea under the curve (AUC) は 0.72270 であった (P=0.01964). カットオフ値を 2.785 cells/mgCrより大とした時の感度は 47.06%, 特異度は 85.71%であった. 他のマーカーではCCの存在を予測できなかった.

85.71%であった. 血清クレアチニン値, eGFR, uPCRではCCの存在を予測できなかった.

考 察

U-Pod/Cr, U-PCX/Cr, C-meg/Crは活動性のLNで上昇する. U-Pod/Cr, U-PCX/Cr, C-meg/Crは蛋白尿との相関があり、C-meg/Crは既知の尿細管傷害マーカーとも相関があった. Class IVのU-Pod/Crはclass Vと比較し高値であり、class VのU-PCX/Crはclass IIIと比較して高値であった. U-Pod/Crは組織学的なactivity indexと中等度の正の相関があった. U-Pod/Crと関連がある組織学的病変はCCであり、ROC解析によるとCCの存在の予測にU-Pod/Crは役立つ事が分かった.

Nakamura らは蛋白尿、血尿、腎機能悪化で定義された 非活動性LNでは 0 (0-0) cells/mL (n=8), 活動性LNでは 4.0 (1.7-5.2) cells/mL (n=8) の尿中Podの脱落があったと 報告している 26. 検体数. 尿中クレアチニン濃度補正の 有無,活動性の定義,重症度などの相違はあるが,本研 究の結果はこの結果とほぼ一致していると考えられた. LNにおいてU-Pod/Crと組織学的病変の検討の報告はまだ ない. 本研究ではU-Pod/Crは急性増殖病変が大きく影響 を与える組織学的activity indexおよびCCを持つ糸球体 の割合と正の相関がある事からU-Pod/Crは増殖性病変の 影響を受けると考えられた. Haraらは、小児IgA腎症およ び紫斑病性腎炎 20 名において尿中Pod数とCCを表す管外 病変スコアが相関していると報告し²³⁾、Asaoらは、成人 IgA腎症 35 名において、U-Pod/Crと管外病変スコアは有 意な相関は見いだせなかったと報告している 38). 三者で 結果が異なる原因として, 腎炎の種類や成人/小児とい う対象患者の差の他に、Asaoらの研究ではuPCRが 0.34 (0.17-0.55) g/gCrであったのに対しHaraらの研究では 2.28 ± 0.55 g/gCr (平均値 \pm 標準偏差),本研究では 2.43 (0.96-4.63) g/gCrであったことからより腎炎の活動性が高く,U-Pod/CrとCCのある糸球体の割合に有意な相関が出た可能性が考えられた.

HaraらはLN 5 名においてU-PCX/Crが 44.3±10.8 ng/μmolCr [391.0±95.5 μg/gCr (平均 値±標準偏差)]で あり、正常コントロール群の 69 名の 7.1±0.5 ng/μmolCr [61.9±4.42 μg/gCr (平均値±標準偏差)]よりも高値で あったと報告している³²⁾. 本研究のLN(+)群の結果は この結果とほぼ一致していると考えられ、またLN(-)群 のU-PCX/CrはLN (+) 群よりも正常者に近い事が示唆 された. LNにおいてU-PCX/Crと組織学的病変の検討 の報告はまだない. Asaoらは成人IgA腎症 35 名におい てU-PCX/CrとCCを表す管外病変スコアが正の相関を 示していたと報告しており 38), 多変量解析で相関のある 病理組織所見を見いだせなかった本研究の結果と合致しな かった. 軽度の糖尿病性腎症や膜性腎症など尿中Pod数は 上昇しないがU-PCX/Crが上昇するため^{24,40,32)}, U-PCX/Cr を上昇する性質の組織学的病変は、U-Pod/Crを上昇させ る性質の組織学的病変より多く存在する事が示唆される. LNは様々な病変が混在する腎症であり、特定の病変では なく様々な病変が合わさってU-PCX/Crを上昇させている 可能性が考えられた.

LNの 尿中megalinに 関する報告は皆無である. Ogasawara らは2型糖尿病においてA-meg/Crよりも C-meg/Crの方が尿中アルブミン/尿クレアチニン濃度比 との相関は大きく, さらにeGFR 60 mL/min/1.72m² 未満 患者のC-meg/Crが高かったがA-meg/Crは高くなかった ことを報告している³⁵⁾. SekiらはC-meg/Crのみの検討で IgA腎症においての組織学的評価と透析導入リスクとの 関連. 膜性腎症においての正常コントロールとの有意差 を報告している³⁶⁾. 本研究ではC-meg/CrがLN (+) 群で上 昇しており、uPCR、α1MG/Cr、NAG/Crと相関していた. 従って、C-meg/CrはLNにおいても前述の腎症と同様に 上昇し、尿所見と相関すると考えられた。 Megalin は近位 尿細管細胞由来であることから尿細管間質の組織学的病 変との相関が期待される. しかしSekiらによるIgA腎症で の検討ではTAとIFのスコアとC-meg/Crの相関は見いだ せなかった³⁶⁾. 本研究でもII, TA, IFとC-meg/Crの相関 は見いだせなかった. この事は組織学的変化が出現する 前の軽微な傷害でもC-meg/Crが既に上昇してしまってい る可能性, II, TA, IFはmegalinの由来となる近位尿細管 の急性の病理組織所見を直接評価していないため相関を 検出できなかった可能性、腎生検で得たサンプルが必ずし も腎全体の尿細管間質病変を反映していなかった可能性. 尿細管間質の組織学的変化C-meg/Crと関連がない可能性 が考えられた.

本 研 究 で はU-Pod/Cr>2.785 cells/mgCrなら ば 感 度 47.06%, 特異度 85.71%でLNのCCの存在予測ができる 事が分かった. CCが存在で想定される強力な免疫抑制

療法は有害事象も少なくなく、過剰治療を防ぐためにも、 高い特異度を保つようにこのカットオフ値を選択した. CCはLNにおいて腎の予後不良因子であり¹³⁾、ACRの ガイドラインでもCCがある場合は強力な免疫抑制療法 を行う事を推奨している 8. 抗凝固剤が中止できないな ど腎生検の禁忌があり、活動性のLNが疑われる症例に おいては、U-Pod/Crの高値はCCの存在を示唆し、強力 な免疫抑制療法開始の有用な基準の1つになるかもし れない. U-Pod/Crと正の相関があった組織学的activity index も 腎予後を反映すると報告されている ^{14,41,42)}. そし U-PCX/Cr, C-meg/Crと正の相関があったuPCRはLNを 含む腎症/腎炎でバイオマーカーとして使用されている. 従って、U-Pod/Cr、U-PCX/Cr、C-meg/CrはLNの組織学 所見のみならずLNの腎予後を反映する非侵襲的バイオ マーカーになりうる可能性があり、今後も縦断研究を継続 していきたい.

この研究には6つの限界がある。第1に、ほとんどの 患者には腎機能低下がなく早期に診断されたLNでの検討 であり、そして多くがchronicity indexの低い患者群である 事である. 従って腎炎の進行例や慢性病変が強いLNに おいては今回の研究結果が適用できない可能性がある. 第2に、LN(+)群にclass I, II, VIが含まれておらず一般 に免疫抑制療法が必要ないclass I, II, VIと免疫抑制療法 が必要なclass III, IV, Vとの比較ができなかった事である. 第3に、尿所見が正常にも関わらず腎生検にて光学顕微鏡 での増殖性腎炎や電子顕微鏡での高度電子沈着物などの LNの所見を持つSLE患者群がおり、silent lupus nephritis として報告されている ⁴³⁾. 本研究でLN (-) 群は腎機能や 尿所見を用いて分類されており、silent lupus nephritisが 含まれていることでLN (-) 群の結果に影響を及ぼした 可能性がある. 第4 に、LN (+) 群の再燃症例などの一部 で既に免疫抑制療法やアンジオテンシン変換酵素阻害薬/ アンジオテンシン受容体拮抗薬の介入がなされ、腎保護的 に働き 40 結果に影響を与えた可能性がある. 第5に過去の U-Pod/Cr, U-PCX/Cr, A-meg/Cr, C-meg/Crについての 報告では尿沈渣との関連を検討したものはなかったため、 本研究でも検討のデータに含めていなかった. しかしLN を含む腎症/腎炎において尿沈渣は重要なデータであり. 今後の検討には含めるべきと考えた. そして最後に、本研 究は一時点における臨床データをもとに尿中マーカーの検 討を行ったが、本研究の尿中マーカーの有用性を確認する には中長期的な腎予後や治療反応性などの情報が今後必要 になると考えた.

結 論

U-Pod/Crは組織学的な活動性を反映する. U-Pod/Crは強力な免疫抑制療法が必要とされるCCの存在の予測の非侵襲的なマーカーになる可能性がある. C-meg/Crは活動性のLNで上昇し, 既知の尿細管傷害マーカーと正の相関があった.

謝辞

稿を終えるにあたり、本論文のご指導、ご高閲を賜りました埼玉医科大学リウマチ膠原病科 三村俊英教授と梶山浩先生、また、検体採取にご協力頂いた外来受け持ち医、病棟受け持ち医、外来スタッフ、病棟スタッフ、医局研究助手、医局秘書の皆様に深謝いたします。

参考文献

- Contreras G, Roth D, Pardo V, Striker LG, Schultz DR. Lupus nephritis: a clinical review for practicing nephrologists. Clin Nephrol 2002;57:95-107.
- 2) 中井滋,花房規男,政金生人,谷口正智,濱野高行, 庄司哲雄,他.わが国の慢性透析療法の現況(2012年 12月31日現在).日本透析医学会雑誌2014;47:1-56.
- 3) Waldman M, Appel GB. Update on the treatment of lupus nephritis. Kidney Int 2006;70:1403 12.
- Weening JJ, D'Agati VD, Schwartz MM, Seshan SV, Alpers CE, Appel GB, et al. The classification of glomerulonephritis in systemic lupus erythematosus revisited. J Am Soc Nephrol 2004;15:241-50.
- Pollak VE, Pirani CL, Schwartz FD. The natural history of the renal manifestations of systemic lupus erythematosus. 1964. J Am Soc Nephrol 1997;8:1189-98; discussion-95.
- Yokoyama H, Wada T, Hara A, Yamahana J, Nakaya I, Kobayashi M, et al. The outcome and a new ISN/RPS 2003 classification of lupus nephritis in Japanese. Kidney Int 2004;66:2382-8.
- Hiramatsu N, Kuroiwa T, Ikeuchi H, Maeshima A, Kaneko Y, Hiromura K, et al. Revised classification of lupus nephritis is valuable in predicting renal outcome with an indication of the proportion of glomeruli affected by chronic lesions. Rheumatology (Oxford) 2008;47:702-7.
- 8) Hahn BH, McMahon MA, Wilkinson A, Wallace WD, Daikh DI, Fitzgerald JD, et al. American College of Rheumatology guidelines for screening, treatment, and management of lupus nephritis. Arthritis Care Res (Hoboken) 2012;64:797-808.
- 9) Bertsias GK, Tektonidou M, Amoura Z, Aringer M, Bajema I, Berden JH, et al. Joint European League Against Rheumatism and European Renal Association-European Dialysis and Transplant Association (EULAR/ ERA-EDTA) recommendations for the management of adult and paediatric lupus nephritis. Ann Rheum Dis 2012;71:1771-82.
- 10) Kidney Disease: Improving global outcomes (KDIGO) glomerulonephritis work group. KDIGO clinical practice guideline for glomerulonephritis. Kidney Inter, Suppl

- 2012;2:139-274.
- 11) Bohle A, Wehrmann M, Bogenschutz O, Batz C, Vogl W, Schmitt H, et al. The long-term prognosis of the primary glomerulonephritides. A morphological and clinical analysis of 1747 cases. Pathol Res Pract 1992;188:908-24.
- 12) Park MH, D'Agati V, Appel GB, Pirani CL. Tubulointerstitial disease in lupus nephritis: relationship to immune deposits, interstitial inflammation, glomerular changes, renal function, and prognosis. Nephron 1986;44:309-19.
- 13) Yu F, Tan Y, Liu G, Wang SX, Zou WZ, Zhao MH. Clinicopathological characteristics and outcomes of patients with crescentic lupus nephritis. Kidney Int 2009;76:307-17.
- 14) Austin HA, 3rd, Muenz LR, Joyce KM, Antonovych TT, Balow JE. Diffuse proliferative lupus nephritis: identification of specific pathologic features affecting renal outcome. Kidney Int 1984;25:689-95.
- 15) Kriz W, Gretz N, Lemley KV. Progression of glomerular diseases: is the podocyte the culprit? Kidney Int 1998;54:687-97.
- 16) Drumond MC, Deen WM. Structural determinants of glomerular hydraulic permeability. Am J Physiol 1994;266;F1-12.
- 17) Kriz W, Elger M, Mundel P, Lemley KV. Structurestabilizing forces in the glomerular tuft. J Am Soc Nephrol 1995;5:1731-9.
- 18) Lemley KV, Abdullah I, Myers BD, Meyer TW, Blouch K, Smith WE, et al. Evolution of incipient nephropathy in type 2 diabetes mellitus. Kidney Int 2000;58:1228-37.
- 19) Lemley KV, Lafayette RA, Safai M, Derby G, Blouch K, Squarer A, et al. Podocytopenia and disease severity in IgA nephropathy. Kidney Int 2002;61:1475-85.
- 20) D'Agati VD. Podocyte injury in focal segmental glomerulosclerosis: Lessons from animal models (a play in five acts). Kidney Int 2008;73:399-406.
- 21) Hara M, Yamamoto T, Yanagihara T, Takada T, Itoh M, Adachi Y, et al. Urinary excretion of podocalyxin indicates glomerular epithelial cell injuries in glomerulonephritis. Nephron 1995;69:397-403.
- 22) Hara M, Yanagihara T, Takada T, Itoh M, Matsuno M, Yamamoto T, et al. Urinary excretion of podocytes reflects disease activity in children with glomerulonephritis. Am J Nephrol 1998;18:35-41.
- 23) Hara M, Yanagihara T, Kihara I. Cumulative excretion of urinary podocytes reflects disease progression in IgA nephropathy and Schonlein-Henoch purpura nephritis. Clin J Am Soc Nephrol 2007;2:231-8.
- 24) Nakamura T, Ushiyama C, Suzuki S, Hara M, Shimada N,

- Ebihara I, et al. Urinary excretion of podocytes in patients with diabetic nephropathy. Nephrol Dial Transplant 2000;15:1379-83.
- 25) Nakamura T, Ushiyama C, Suzuki S, Hara M, Shimada N, Ebihara I, et al. The urinary podocyte as a marker for the differential diagnosis of idiopathic focal glomerulosclerosis and minimal-change nephrotic syndrome. Am J Nephrol 2000;20:175-9.
- 26) Nakamura T, Ushiyama C, Suzuki S, Hara M, Shimada N, Sekizuka K, et al. Urinary podocytes for the assessment of disease activity in lupus nephritis. Am J Med Sci 2000;320:112-6.
- 27) Vogelmann SU, Nelson WJ, Myers BD, Lemley KV. Urinary excretion of viable podocytes in health and renal disease. Am J Physiol Renal Physiol 2003;285:F40-8.
- 28) Nielsen JS, McNagny KM. The role of podocalyxin in health and disease. J Am Soc Nephrol 2009;20:1669 76.
- 29) Kerjaschki D, Poczewski H, Dekan G, Horvat R, Balzar E, Kraft N, et al. Identification of a major sialoprotein in the glycocalyx of human visceral glomerular epithelial cells. J Clin Invest 1986;78:1142-9.
- 30) Hara M, Yanagihara T, Kihara I, Higashi K, Fujimoto K, Kajita T. Apical cell membranes are shed into urine from injured podocytes: a novel phenomenon of podocyte injury. J Am Soc Nephrol 2005;16:408-16.
- 31) Hara M, Yanagihara T, Hirayama Y, Ogasawara S, Kurosawa H, Sekine S, et al. Podocyte membrane vesicles in urine originate from tip vesiculation of podocyte microvilli. Hum Pathol 2010;41:1265-75.
- 32) Hara M, Yamagata K, Tomino Y, Saito A, Hirayama Y, Ogasawara S, et al. Urinary podocalyxin is an early marker for podocyte injury in patients with diabetes: establishment of a highly sensitive ELISA to detect urinary podocalyxin. Diabetologia 2012;55:2913-9.
- 33) Christensen EI, Birn H. Megalin and cubilin: multifunctional endocytic receptors. Nat Rev Mol Cell Biol 2002;3:256-66.
- 34) Saito A, Sato H, Iino N, Takeda T. Molecular mechanisms of receptor-mediated endocytosis in the renal proximal tubular epithelium. J Biomed Biotechnol 2010;2010:403272.
- 35) Ogasawara S, Hosojima M, Kaseda R, Kabasawa H, Yamamoto-Kabasawa K, Kurosawa H, et al. Significance of urinary full-length and ectodomain forms of megalin in patients with type 2 diabetes. Diabetes Care 2012;35:1112-8.
- 36) Seki T, Asanuma K, Asao R, Nonaka K, Sasaki Y, Oliva Trejo JA, et al. Significance of urinary full-length megalin in patients with IgA nephropathy. PLoS One 2014;9:e114400.

37) Matsuo S, Imai E, Horio M, Yasuda Y, Tomita K, Nitta K, et al. Revised equations for estimated GFR from serum creatinine in Japan. Am J Kidney Dis 2009;53:982-92.

- 38) Asao R, Asanuma K, Kodama F, Akiba-Takagi M, Nagai-Hosoe Y, Seki T, et al. Relationships between levels of urinary podocalyxin, number of urinary podocytes, and histologic injury in adult patients with IgA nephropathy. Clin J Am Soc Nephrol 2012;7:1385-93.
- 39) Tanuma A, Sato H, Takeda T, Hosojima M, Obayashi H, Hama H, et al. Functional characterization of a novel missense CLCN5 mutation causing alterations in proximal tubular endocytic machinery in Dent's disease. Nephron Physiol 2007;107:p87-97.
- 40) Hara M, Yanagihara T, Kihara I. Urinary podocytes in primary focal segmental glomerulosclerosis. Nephron 2001;89:342-7.
- 41) Magil AB, Puterman ML, Ballon HS, Chan V,

- Lirenman DS, Rae A, et al. Prognostic factors in diffuse proliferative lupus glomerulonephritis. Kidney Int 1988;34:511-7.
- 42) Esdaile JM, Federgreen W, Quintal H, Suissa S, Hayslett JP, Kashgarian M. Predictors of one year outcome in lupus nephritis: the importance of renal biopsy. Q J Med 1991;81:907-18.
- 43) Mahajan SK, Ordonez NG, Feitelson PJ, Lim VS, Spargo BH, Katz AI. Lupus nephropathy without clinical renal involvement. Medicine (Baltimore) 1977;56:493-501.
- 44) Kent DM, Jafar TH, Hayward RA, Tighiouart H, Landa M, de Jong P, et al. Progression risk, urinary protein excretion, and treatment effects of angiotensin-converting enzyme inhibitors in nondiabetic kidney disease. J Am Soc Nephrol 2007;18:1959-65.